

Hypoxylon fuscum

(Pers.) Fr., *Summa veg. Scand.*, Section Post. (Stockholm): 384 (1849)



Xylariaceae, Xylariales, Xylariomycetidae, Sordariomycetes, Pezizomycotina, Ascomycota, Fungi

- ≡ *Cladotrichum fuscum* (Pers.) Sacc., *Syll. fung.* (Abellini) 4: 373 (1886)
- = *Hypoxylon bicolor* Ellis & Everh., *J. Mycol.* 2(8): 88 (1886)
- = *Hypoxylon bicoloratum* P.M.D. Martin, *Jl S. Afr. Bot.* 42(1): 72 (1976)
- = *Hypoxylon bicoloratum* P.M.D. Martin, *Jl S. Afr. Bot.* 33: 328 (1967)
- = *Hypoxylon commutatum* subsp. *holwayanum* Sacc. & Ellis, in Saccardo, *Michelia* 2(no. 8): 570 (1882)
- = *Hypoxylon confluens* (Willd.) Wettst., *Verh. zool.-bot. Ges. Wien* 35: 592 (1885)
- ≡ *Hypoxylon fuscum* var. *confluens* (Willd.) J. Kickx f., *Fl. Crypt. Flandres* (Paris) 1: 307 (1867)
- ≡ *Hypoxylon fuscum* (Pers.) Fr., *Summa veg. Scand.*, Section Post. (Stockholm): 384 (1849) var. *fuscum*
- = *Hypoxylon glomerulatum* Bull., *Hist. Champ. Fr.* (Paris) 1: 178 (1791)
- = *Hypoxylon lianincola* Rehm, *Leafl. of Philipp. Bot.* 6: 1944 (1913)
- = *Hypoxylon oregonense* G. Kauffm., *Pap. Mich. Acad. Sci.* 11: 169 (1930) [1929]
- = *Hypoxylon pruinatoides* G. Kauffm., *Pap. Mich. Acad. Sci.* 11: 169 (1930) [1929]
- = *Hypoxylon purpureum* Nitschke, *Pyrenomyc. Germ.* 1: 37 (1867)
- = *Hypoxylon subchlorinum* Ellis & Calk., *J. Mycol.* 4(9): 86 (1888)
- = *Hypoxylon vinosum* Mont., *Annl. Sci. Nat., Bot., sér. 2* 13: 356 (1840)
- ≡ *Peripherostoma fuscum* (Pers.) Gray, *Nat. Arr. Brit. Pl.* (London) 1: 513 (1821)
- ≡ *Peripherostoma fuscum* var. *depressum* Gray, *Nat. Arr. Brit. Pl.* (London) 1: 514 (1821)
- ≡ *Peripherostoma fuscum* (Pers.) Gray, *Nat. Arr. Brit. Pl.* (London) 1: 513 (1821) var. *fuscum*
- ≡ *Peripherostoma fuscum* var. *inequale* Gray, *Nat. Arr. Brit. Pl.* (London) 1: 514 (1821)
- = *Rosellinia bicolor* Ellis & Everh., *Proc. Acad. nat. Sci. Philad.* 46: 327 (1894)
- = *Sphaeria castorea* Tode, *Fung. mecklenb. sel.* (Lüneburg) 2: 28 (1791)
- = *Sphaeria confluens* Willd., *Fl. berol. prodr.*: 416 (1787)
- = *Sphaeria coryli* DC. & Lam., in Lamarck & de Candolle, *Fl. franç.*, Edn 3 (Paris) 2: 287 (1805)
- = *Sphaeria effusa* Sowerby, *Col. fig. Engl. Fung. Mushr.* (London) 3: pl. 374:8 (1803)
- = *Sphaeria fragiformis* Hoffm., *Veg. Crypt.* 1: 20 (1787)
- = *Sphaeria fragiformis* var. *castorea* (Tode) Pers., *Syn. meth. fung.* (Göttingen) 1: 10 (1801)
- ≡ *Sphaeria fusca* Schumach., *Enum. pl.* (Kjbenhavn) 2: 167 (1803)
- ≡ *Sphaeria fusca* Pers., *Ann. Bot. (Usteri)* 11: 22 (1794)
- ≡ *Sphaeria fusca* Pers., *Fung. mecklenb. sel.* (Lüneburg) (1791) var. *fusca*
- = *Sphaeria glomerulata* (Bull.) DC. & Lam., in Lamarck & de Candolle, *Fl. franç.*, Edn 3 (Paris) 2: 287 (1805)
- = *Sphaeria tuberculosa* Bolton, *Hist. fung. Halifax* (Huddersfield) 3: 123 (1790) [1789]
- ≡ *Stromatosphaeria fusca* (Pers.) Grev., *Fl. Edin.*: 356 (1824)

Material estudiado:

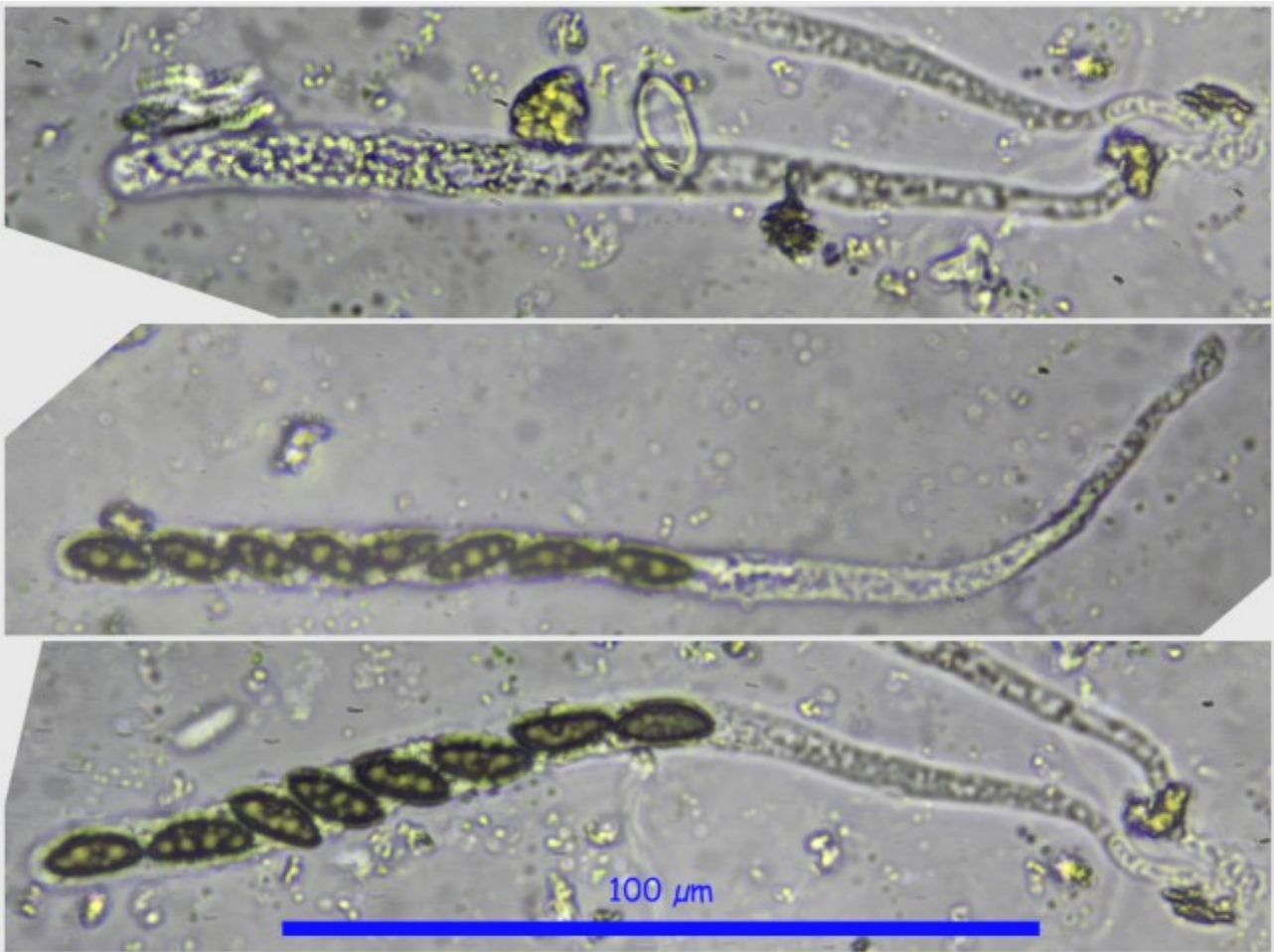
España, Gerona, Molló, Bernatere, 31T DG4989, 1426 m, sobre madera caída de *Corylus avellana*, 27-III-2012, leg. Dianora Estrada, Santiago Elena y Demetrio Merino, JA-CUSSTA: 7889.
España, Asturias, Somiedo, Campizos, 29T QH2377, 798 m, sobre madera caída de *Corylus avellana*, 2-VI-2013, leg. Dianora Estrada, Salvador Tello y Demetrio Merino, JA-CUSSTA: 7890.
España, Cuenca, Villalba de la Sierra, Molino de Agua, 30T WK7754, 971 m, sobre madera en descomposición de *Alnus* sp., 4-IV-2014, leg. Dianora Estrada y Demetrio Merino, JA-CUSSTA: 7888.

Descripción macroscópica:

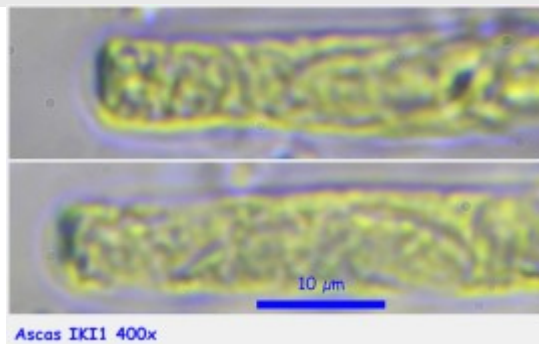
Estromas globosos y verrucosos, abollados, de color pardo rojizo punteado de negro (por los ostiolo de los peritecios) y que terminan siendo negros con tonos rojizos en la madurez. Agrupados en numerosos ejemplares.

Descripción microscópica:

Ascas cilíndricas, hialinas, amiloides, octosporicas, uniseriadas, con croziers y de $106.37 - 169.76 \times 6.06 - 7.58 \mu\text{m}$; $N = 4$; $Me = 131.00 \times 6.93 \mu\text{m}$. **Esporas** cubiertas de perisporio hialino, elípticas, disimétricas, hialinas, mono-bigutuladas, con hendidura longitudinal al madurar y de $(11.67) 13.02 - 14.86 (15.61) \times (5.63) 6.11 - 7.08 (7.57) \mu\text{m}$; $Q = (1.74) 1.93 - 2.37 (2.54)$; $N = 29$; $Me = 13.76 \times 6.50 \mu\text{m}$; $Q_e = 2.13$. **Paráfisis** filiformes, cilíndricas, septadas y ramificadas. **Excipulo** formado por células globosas.

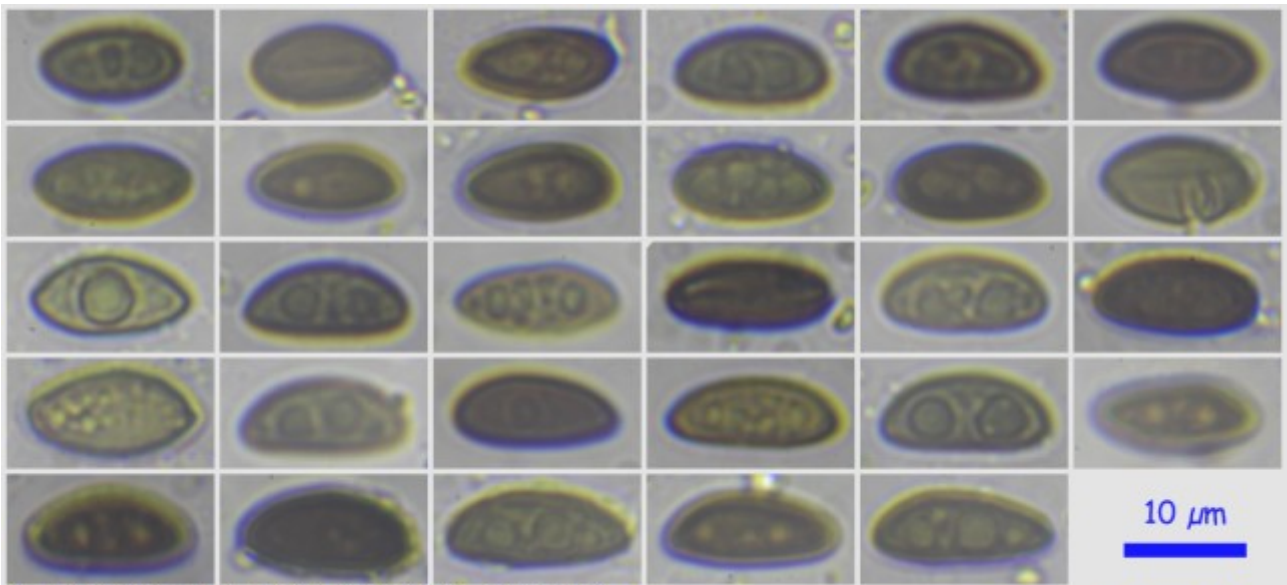


Ascas Agua 400x



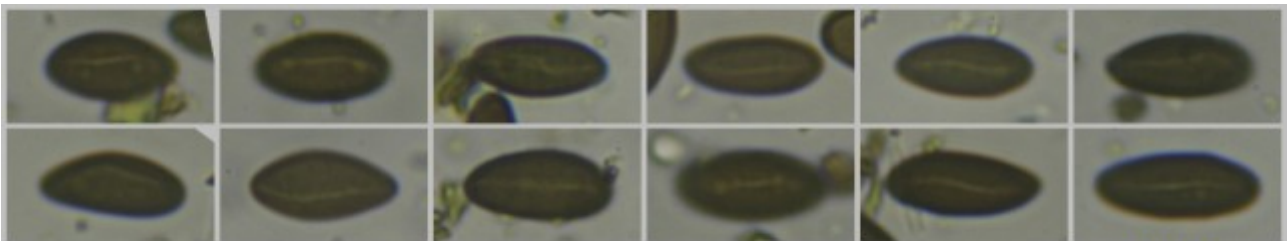
Ascas IKI1 400x

A. Ascas.



(11.67) 13.02 - 14.86 (15.61) x (5.63) 6.11 - 7.08 (7.57) μm
 Q = (1.74) 1.93 - 2.37 (2.54) ; N = 29 Me = 13.76 x 6.50 μm ; Qe = 2.13

Esporas Agua 600x



Esporas IKI1 600x

10 μm

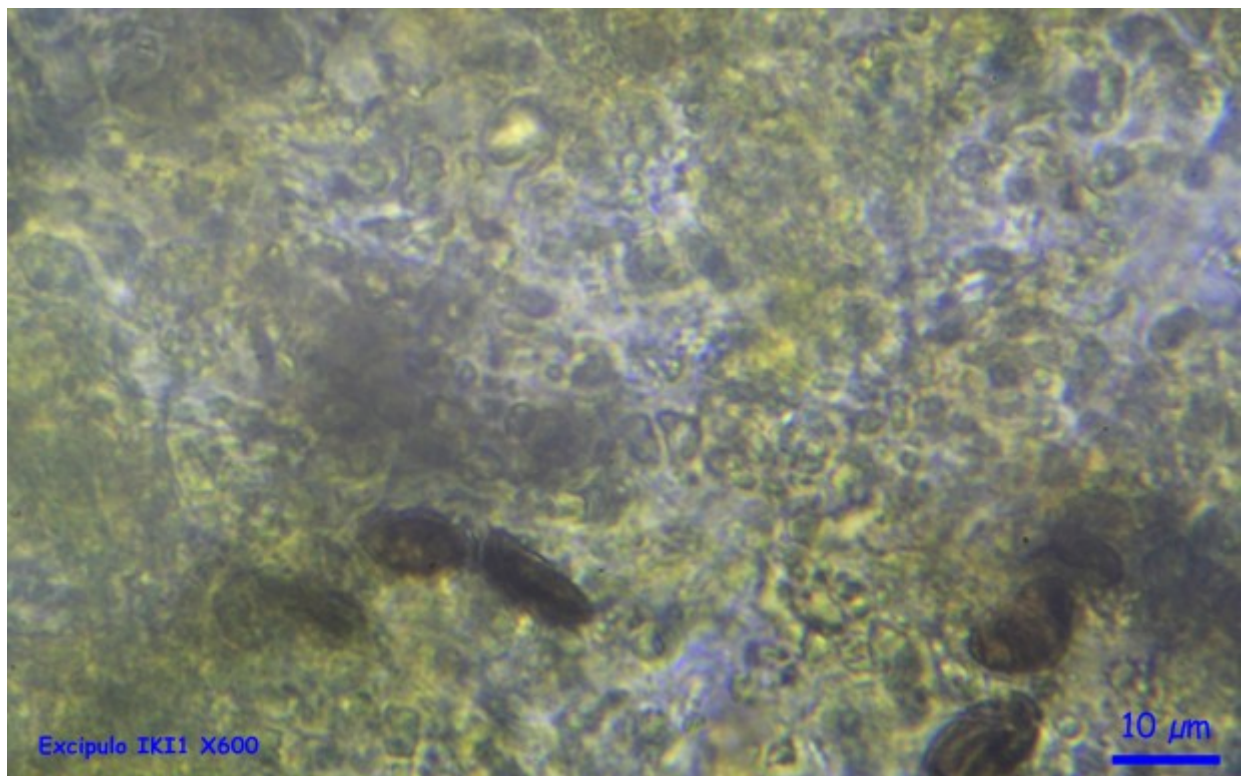
B. Esporas.



Parafisis Agua X600

5 μm

C. Paráfisis.



D. Excípulo.

Observaciones

Estimamos que corresponde a esta especie por medida de las esporas, amiloididad de las ascas y crecer sobre *Corylus* y *Alnus*. *Hypoxylon fragiforme* (Pers. ex Fr.) Kickx es muy parecido a *H. fuscum*, pero crece sobre *Fagus* y sus ascas no son amiloides. (BREITENBACH & KRÄNZLIN, 1983).

Otras descripciones y fotografías

- BREITENBACH J. & KRÄNZLIN F. (1983). *Fungi of Switzerland Vol. 1. Ascomycetes. Mykologia Luczern*. Pág. 268.



Salvo indicación en contrario, las fotos están realizadas por Demetrio Merino.